

# Description Spectrale

UNIVERSITÉ  
DU SAINT-ESPRIIT CURIE  
thomas.gomez@upmc.fr

97

# Description spectrale

- ☑ Transformée de Fourier
- ☑ Inverse
 
$$f(x) = \int_{-\infty}^{+\infty} \hat{f}(k) e^{ixk} dk$$
- ☑ Direct
 
$$\hat{f}(k) = \frac{1}{2\pi} \int_{-\infty}^{+\infty} f(x) e^{-ixk} dx$$
- ☑  $k$  est le **nombre d'onde** et  $i^2 = -1$

UNIVERSITÉ  
DU SAINT-ESPRIIT CURIE  
thomas.gomez@upmc.fr

98

# Description spectrale

- ☑ Tenseur des corrélations de vitesse
- ☑ Espace Physique
 
$$R_{ij}(\mathbf{x}, \mathbf{r}, t) \equiv \overline{u'_i(\mathbf{x}, t) u'_j(\mathbf{x} + \mathbf{r}, t)}$$
- $$R_{ij}(\mathbf{x}, \mathbf{r}, t) = \int_{-\infty}^{+\infty} dk_1 \int_{-\infty}^{+\infty} dk_2 \int_{-\infty}^{+\infty} dk_3 \Phi_{ij}(\mathbf{x}, \mathbf{k}, t) e^{i\mathbf{k} \cdot \mathbf{r}}$$
- ☑ Espace spectral : Tenseur de corrélation spectrale
 
$$\Phi_{ij}(\mathbf{x}, \mathbf{k}, t) = \frac{1}{(2\pi)^3} \int_{-\infty}^{+\infty} dr_1 \int_{-\infty}^{+\infty} dr_2 \int_{-\infty}^{+\infty} dr_3 R_{ij}(\mathbf{x}, \mathbf{r}, t) e^{-i\mathbf{k} \cdot \mathbf{r}}$$

UNIVERSITÉ  
DU SAINT-ESPRIIT CURIE  
thomas.gomez@upmc.fr

99

# Description spectrale

- ☑ Tenseur de Reynolds
- ☑ Espace Physique
 
$$R_{ij}(\mathbf{x}, \mathbf{0}, t) \equiv \overline{u'_i(\mathbf{x}, t) u'_j(\mathbf{x}, t)}$$
- $$R_{ij}(\mathbf{x}, t) = \int_{-\infty}^{+\infty} dk_1 \int_{-\infty}^{+\infty} dk_2 \int_{-\infty}^{+\infty} dk_3 \Phi_{ij}(\mathbf{x}, \mathbf{k}, t)$$
- ☑ Densité spectrale d'énergie cinétique : « Spectre d'énergie »
 
$$\mathcal{K} \equiv \frac{1}{2} \overline{u'_i u'_i(t)} = \frac{1}{2} R_{ii}(t) = \int_0^{+\infty} E(k, t) dk$$

**nombre d'onde**  $k = |\mathbf{k}|$

UNIVERSITÉ  
DU SAINT-ESPRIIT CURIE  
thomas.gomez@upmc.fr

100

## Description spectrale

### ☑ Simplifications

- ☑ **Homogénéité** par rapport aux variables d'espace (x,y,z):

Toutes les propriétés statistiques sont invariantes par toute translation arbitraire en espace.

- ☑ **En pratique**

$$R_{ij}(\mathbf{x}, \mathbf{r}, t) \equiv \overline{u'_i(\mathbf{x}, t) u'_j(\mathbf{x} + \mathbf{r}, t)} = R_{ij}(\mathbf{r}, t)$$

## Description spectrale

### ☑ Simplifications

- ☑ **Isotropie** :

Les propriétés statistiques sont identiques dans toutes les directions, i.e. sont statistiquement invariantes par toute rotation du référentiel de référence

- ☑ **Symétrie miroir** : ou skew-isotropy

Les propriétés statistiques restent inchangé par toute réflexion miroir, i.e. changement d'un référentiel direct (règle de la main droite) à un indirect.

## Description spectrale

### ☑ Spectre d'énergie cinétique en TH

$$E(k, t) \equiv \int_{-\infty}^{+\infty} dk_1 \int_{-\infty}^{+\infty} dk_2 \int_{-\infty}^{+\infty} dk_3 \frac{1}{2} \Phi_{ii}(\mathbf{k}, t) \delta(|\mathbf{k}| - k)$$

Supposé indépendant de  $\mathbf{x}$  pour simplifier l'expression  
cf. *Turbulence Homogène*

## Description spectrale

### ☑ Equations de la dynamique

Terme NON Linéaire

$$\frac{\partial}{\partial t} \hat{u}_j + \nu k^2 \hat{u}_j = -i P_{jlm}(\mathbf{k}) \int_{\mathbf{p}+\mathbf{q}=\mathbf{k}} \hat{u}_l(\mathbf{p}, t) \hat{u}_m(\mathbf{q}, t) d\mathbf{p}$$

### ☑ Projecteur

Interactions triadiques

$$P_{jil}(\mathbf{k}) = \frac{1}{2} (P_{ij}(\mathbf{k})k_l + P_{il}(\mathbf{k})k_j), \quad P_{ij}(\mathbf{k}) = \left( \delta_{ij} - \frac{k_i k_j}{k^2} \right)$$

Opérateur de projection perpendiculaire à  $\mathbf{k}$

$$\underline{P}(\mathbf{k}) \mathbf{v} \perp \mathbf{k}, \forall \mathbf{v}$$

## Description spectrale

☑ Interactions triadiques

Vers les petites échelles

F-type

Mixte: petites et grandes échelles

R-type

Classification de Waleffe 1992

UNIVERSITÉ DU SAHARA SAÛDIEN - CURIE
96
thomas.gomez@upmc.fr
CRAS

105

## Description spectrale

☑ Equation de Lin

$\Phi_{ij}(\mathbf{k}, t)\delta(\mathbf{k} - \mathbf{p}) = \hat{u}_i^*(\mathbf{p}, t)\hat{u}_j(\mathbf{k}, t)$

Terme NON Linéaire

⇒

$\frac{\partial}{\partial t} E(k, t) + 2\nu k^2 E(k, t) = \mathcal{T}(k, t)$

☑ Terme des transferts non linéaires

$\mathcal{T}(k, t) = \pi k^2 (\hat{u}_i^*(k, t)s_i(k, t) + \hat{u}_i(k, t)s_i^*(k, t))$

☑ Avec

$s_j(\mathbf{k}, t) = -iP_{jlm}(\mathbf{k}) \int_{\mathbf{p}+\mathbf{q}=\mathbf{k}} \hat{u}_l(\mathbf{p}, t)\hat{u}_m(\mathbf{q}, t)d\mathbf{p}$

UNIVERSITÉ DU SAHARA SAÛDIEN - CURIE
97
thomas.gomez@upmc.fr
CRAS

106

## Description spectrale

☑ Equation bilan : Intégration de Lin

⇒

$\frac{\partial}{\partial t} \int_0^{+\infty} E(k, t)dk + 2\nu \int_0^{+\infty} k^2 E(k, t)dk = \int_0^{+\infty} \mathcal{T}(k, t)dk$

Énergie cinétique

Dissipation

☑ Transferts non linéaires conservatifs

$\int_0^{+\infty} \mathcal{T}(k, t)dk = 0$

UNIVERSITÉ DU SAHARA SAÛDIEN - CURIE
98
thomas.gomez@upmc.fr
CRAS

107

## Description spectrale

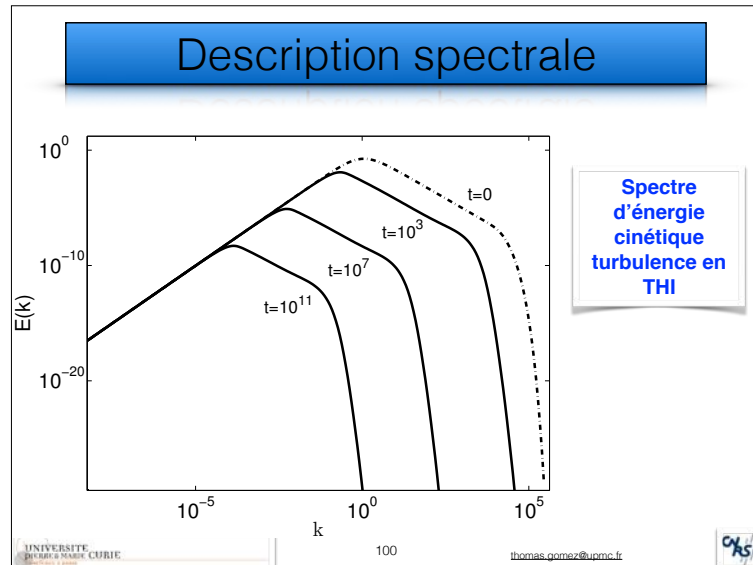
• Transferts à travers les échelles : THI

Re = 70

Re = 7.10³

UNIVERSITÉ DU SAHARA SAÛDIEN - CURIE
99
thomas.gomez@upmc.fr
CRAS


108



109

## Description Phénoménologique

- Scénario de la « cascade d'énergie » et de la coupure visqueuse
- Hypothèses de Kolmogorov
- Nombre de Reynolds
- Echelles caractéristiques



L.F. Richardson

UNIVERSITÉ DU SAHARA MOHAMED EL BACHAÏ  
thomas.gomez@unsmc.fr

110

## Description Phénoménologique

- Nombres de Reynolds
  - Intégral
  - à une échelle l
- Echelles caractéristiques
- Temps de retournement
- Transfert
- Energie cinétique

Pente en  $k^{-5/3}$

Spectre de Kolmogorov

UNIVERSITÉ DU SAHARA MOHAMED EL BACHAÏ  
thomas.gomez@unsmc.fr

111

## Description Phénoménologique

- Théorie de Kolmogorov : Hypothèses
  - **Hypothèse 1:** Aux petites échelles  $l \ll L_{11,1}$ , les moments statistiques en deux points séparés par une distance  $r$  et en deux temps séparés par un délai  $\tau$  peuvent être exprimés au moyen des seules quantités  $\varepsilon, \nu, r, \tau$ .
  - **Hypothèse 2:** Aux petites échelles  $\eta \ll l \ll L_{11,1}$ , les moments statistiques en deux points séparés par une distance  $r$  et en deux temps séparés par un délai  $\tau$  peuvent être exprimés au moyen des seules quantités  $\varepsilon, r, \tau$ . La disparition de  $\nu$  indique que ces échelles ne sont que très peu directement affectées par la dissipation par effet Joule, et ne sont soumises qu'aux effets non-linéaires représentés par  $\varepsilon$ .

$\Rightarrow E(k) = C\varepsilon^{2/3}k^{-5/3}$

UNIVERSITÉ DU SAHARA MOHAMED EL BACHAÏ  
thomas.gomez@unsmc.fr

112

## Description Phénoménologique

☑ Théorie de Kolmogorov : **Grandeurs caractéristiques**

	Echelle intégrale	Echelle Taylor	Echelle Kolmogorov
Espace	$L_u = \frac{\mathcal{K}^{3/2}}{\varepsilon}$	$\lambda_g = \sqrt{\frac{10\mathcal{K}\nu}{\varepsilon}}$	$\eta = \left(\frac{\nu^3}{\varepsilon}\right)^{1/4}$
Temps	$\tau_u = \frac{\mathcal{K}}{\varepsilon}$	$\tau_\lambda = \sqrt{\frac{15\nu}{\varepsilon}}$	$\tau_\eta = \sqrt{\frac{\nu}{\varepsilon}}$
Nombre Reynolds	$Re_L = \frac{\mathcal{K}^2}{\nu\varepsilon}$	$Re_\lambda = \sqrt{\frac{20}{3}} \frac{\mathcal{K}}{\sqrt{\nu\varepsilon}}$	$Re_\eta = 1$

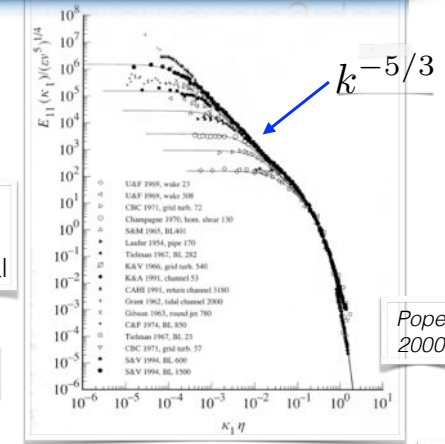
113

## Description Phénoménologique

**Zone inertielle**

- Couches limites
- Turbulence de grille
- Ecoulements en canal

$$E(k) = C\varepsilon^{2/3}k^{-5/3}$$



114

## Description Phénoménologique

**Nombre de degré  
de liberté excités par la turbulence**

$$N \sim \left(\frac{l_0}{l_{nu}}\right)^3 \sim Re^{9/4}$$

115

## Description Phénoménologique

☑ **Cas du scalaire passif**

$$\mathcal{K}_\theta(t) = \int_0^{+\infty} E_\theta(\xi, t) d\xi, \quad \varepsilon_\theta(t) = 2\kappa \int_0^{+\infty} \xi^2 E_\theta(\xi, t) d\xi$$

**Spectre de Kolmogorov**

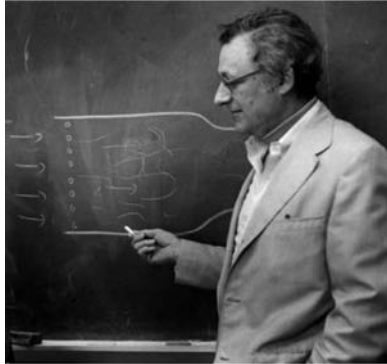
$$E(k) = C\varepsilon^{2/3}k^{-5/3}$$

☑ **Analyse dimensionnelle : Forme du spectre de variance**

$$E_\theta(k) = c_\beta \varepsilon_\theta \varepsilon^{-1/3} k^{-5/3}$$

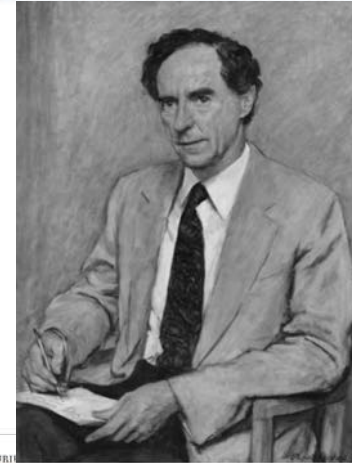
116

## Description Phénoménologique



Stan  
Corrsin

## Description Phénoménologique



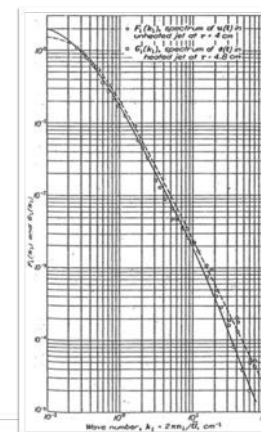
Portrait of George Batchelor by Rupert Shephard 1984; this portrait hangs in DAMTP, Cambridge, the Department founded under Batchelor's leadership in 1959

## Description Phénoménologique



George Batchelor, having been recently elected FRS, in his office at the old Cavendish Laboratory, October 1956

## Description Phénoménologique



One-dimensional power spectra of velocity (circles) and temperature (squares) measured in a jet near the peak shear off-center position, adapted from Corrsin and Uberoi (1951)

## Description Phénoménologique

### ☑ Hypothèses de similitude

#### 1. Cas général $0 < Pr < \infty$ :

(a) On doit utiliser  $\varepsilon_T, \kappa, \tau_\eta$  pour les échelles plus petites que  $\sqrt{\kappa\tau_\eta}$  dans le cas général, pour les échelles plus petites que  $\eta$  pour  $Pr \gg 1$  et pour les échelles plus petites que  $\eta_{CO}$  si  $Pr \ll 1$ . Il s'agit ici d'échelles pour lesquelles les fluctuations de vitesse et les fluctuations de scalaire sont dominées par les effets dissipatifs et diffusifs.

(b) On doit utiliser  $\varepsilon_T, \varepsilon$  pour les échelles plus grandes que  $\eta$  et  $\eta_{CO}$ . Il s'agit ici de petites échelles peu sensibles aux effets diffusifs, qui forment, à grand nombre de Reynolds, une zone inertielle dominée par le phénomène de cascade.

2. Cas  $Pr \leq 1$ . Pour les échelles plus grandes que  $\sqrt{\kappa\tau_\eta}$ , on doit utiliser  $\varepsilon_T, \kappa, \varepsilon$ . A ces échelles, le champ de scalaire est sensible aux effets diffusifs, alors que les fluctuations de vitesse sont dominés par le phénomène de cascade.

#### 3. Cas $Pr \geq 1$ :

(a) Pour les échelles plus grandes que  $\sqrt{\kappa\tau_\eta}$ , on doit utiliser  $\varepsilon_T, \varepsilon, \nu$ .

(b) Pour les échelles plus grandes que  $\sqrt{\kappa\tau_\eta}$  mais plus petites que  $\eta$ , on doit utiliser  $\varepsilon_T, \tau_\eta$ . Ici, les fluctuations de scalaire ne sont pas sensibles aux effets diffusifs et sont dominées par la cascade inertielle, alors que les fluctuations de vitesse sont dominées par les effets dissipatifs.

## Description Phénoménologique

### ☑ Grandeurs caractéristiques

Théorie	Kolmogorov	Batchelor	Obukhov-Corrsin
Hyp. similitude	1 (b), 3(a), 3(b)	1(a), 1(b)	1(b), 2
Variables	$\varepsilon_T, \varepsilon, \nu$	$\varepsilon_T, \tau_\eta, \kappa$	$\varepsilon_T, \varepsilon, \kappa$
Longueur	$\eta$	$\eta_B = \sqrt{\kappa\tau_\eta} = \eta Pr^{-1/2}$	$\eta_{OC} = (\kappa^3/\varepsilon)^{1/4} = \eta Pr^{-3/4}$
Temps	$\tau_\eta$	$\tau_B = \tau_\eta$	$\tau_{OC} = \sqrt{\kappa/\varepsilon} = \eta Pr^{-1/2}$
Scalaire	$\Sigma_\eta = \sqrt{\varepsilon_T \tau_\eta}$	$\Sigma_B = \Sigma_\eta$	$\Sigma_{OC} = \varepsilon_T \sqrt{\kappa/\varepsilon} = \Sigma_\eta Pr^{-1/4}$

## Description Phénoménologique

### ☑ Cas du scalaire passif

Inertio-convective

$$E(k) = C\varepsilon^{2/3}k^{-5/3} \quad E_\theta(k) = c_\beta\varepsilon\theta\varepsilon^{-1/3}k^{-5/3}$$

## Description Phénoménologique

### ☑ Cas du scalaire passif

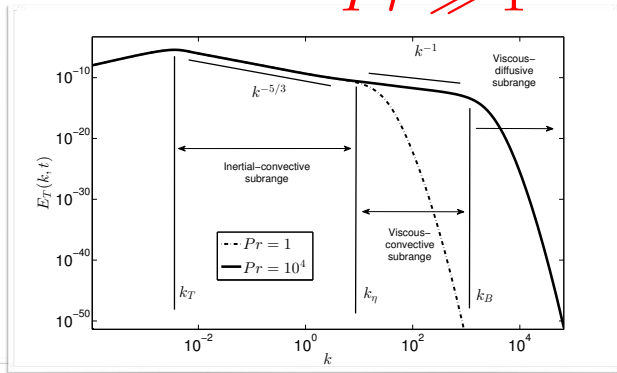
Zones ne fonction du nombre de Prandtl

Case	Range	Lengthscales
$Pr \ll 1$	inertio-convective	$L_T^{-1} \ll k \ll 1/\eta_{OC}$
	inertio-diffusive	$1/\eta_{OC} \ll k \ll 1/\eta$
	visco-diffusive	$1/\eta \ll k$
$Pr \gg 1$	inertio-convective	$L_T^{-1} \ll k \ll 1/\eta$
	visco-convective	$1/\eta \ll k \ll 1/\eta_B$
	visco-diffusive	$1/\eta_B \ll k$

## Description Phénoménologique

☑ Cas du scalaire passif

$$Pr \gg 1$$

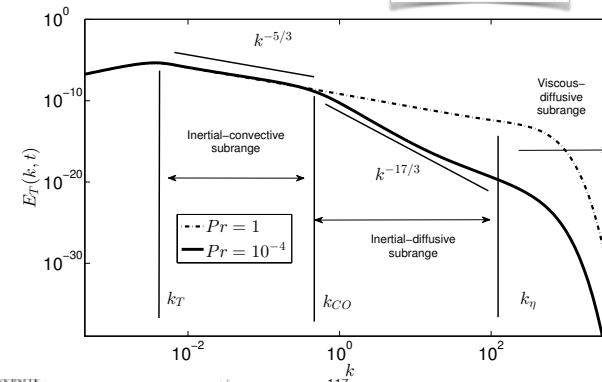


125

## Description Phénoménologique

☑ Cas du scalaire passif

$$Pr \ll 1$$



126